

# **LES AMPLIFICATEURS A UN TRANSISTOR**

# LES AMPLIFICATEURS A UN TRANSISTOR

**1. Transistors Bipolaire et MOS: lois de base**

**2. Modèle "petits signaux"**

**3. Comparaison Bipolaire - MOS**

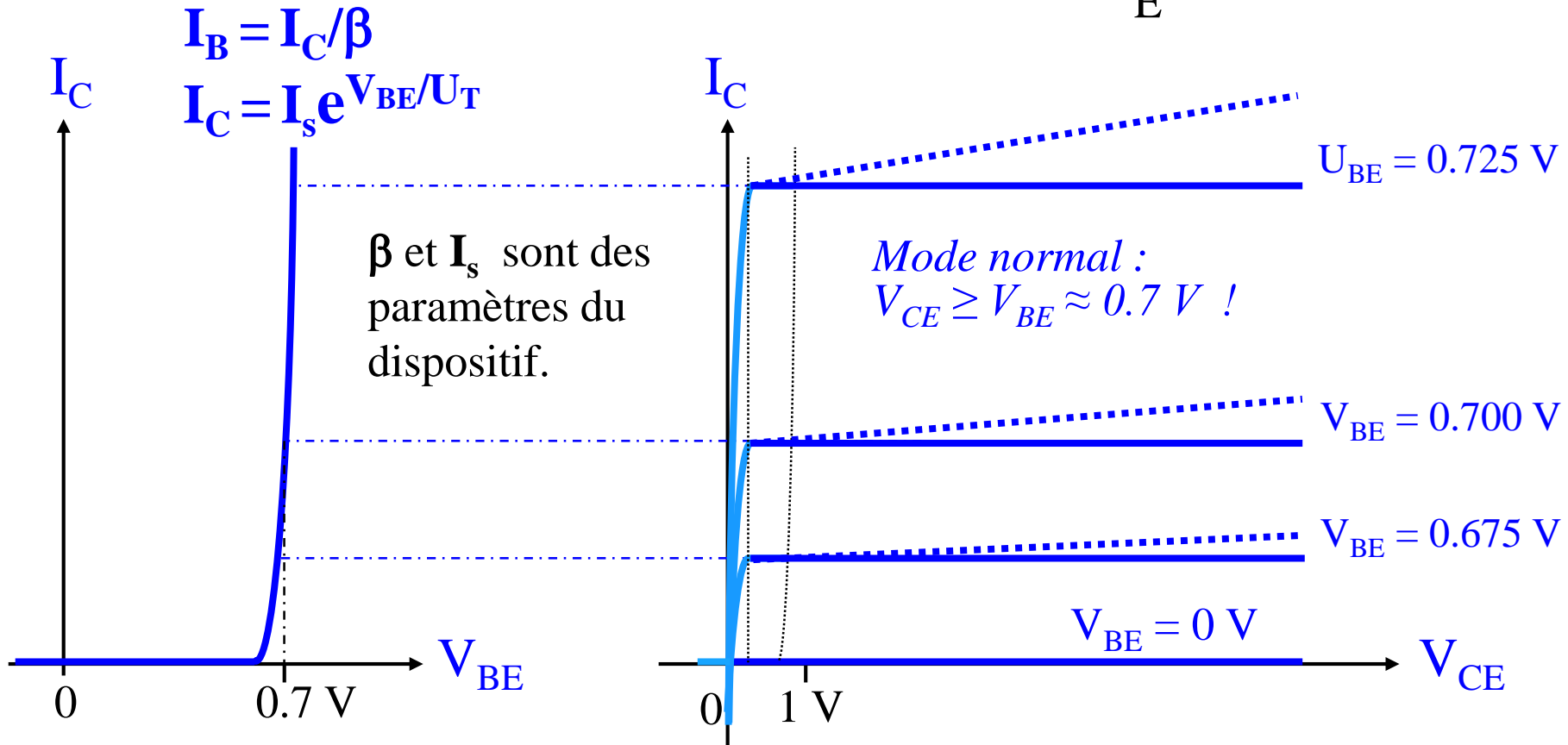
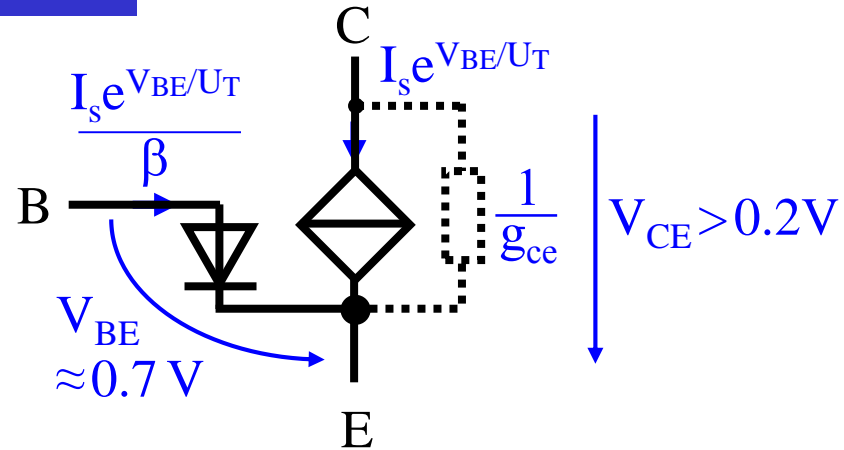
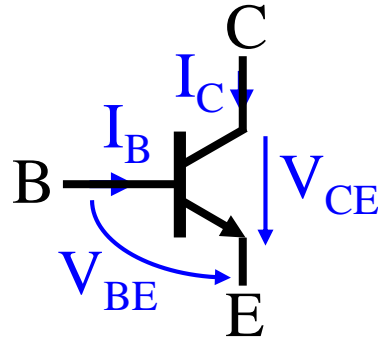
**4. Caractéristiques des montages fondamentaux**

**5. Calcul direct des résistances d'entrée et de sortie**

**6. Autres remarques**

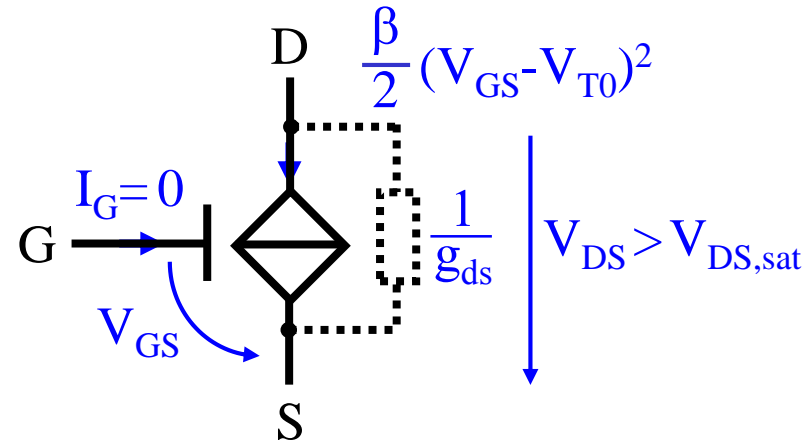
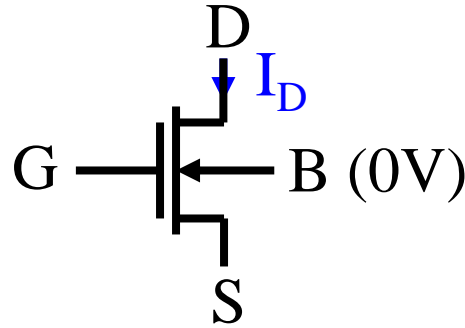
# 1. Transistor Bipolaire: lois de base

## Transistor bipolaire en mode normal

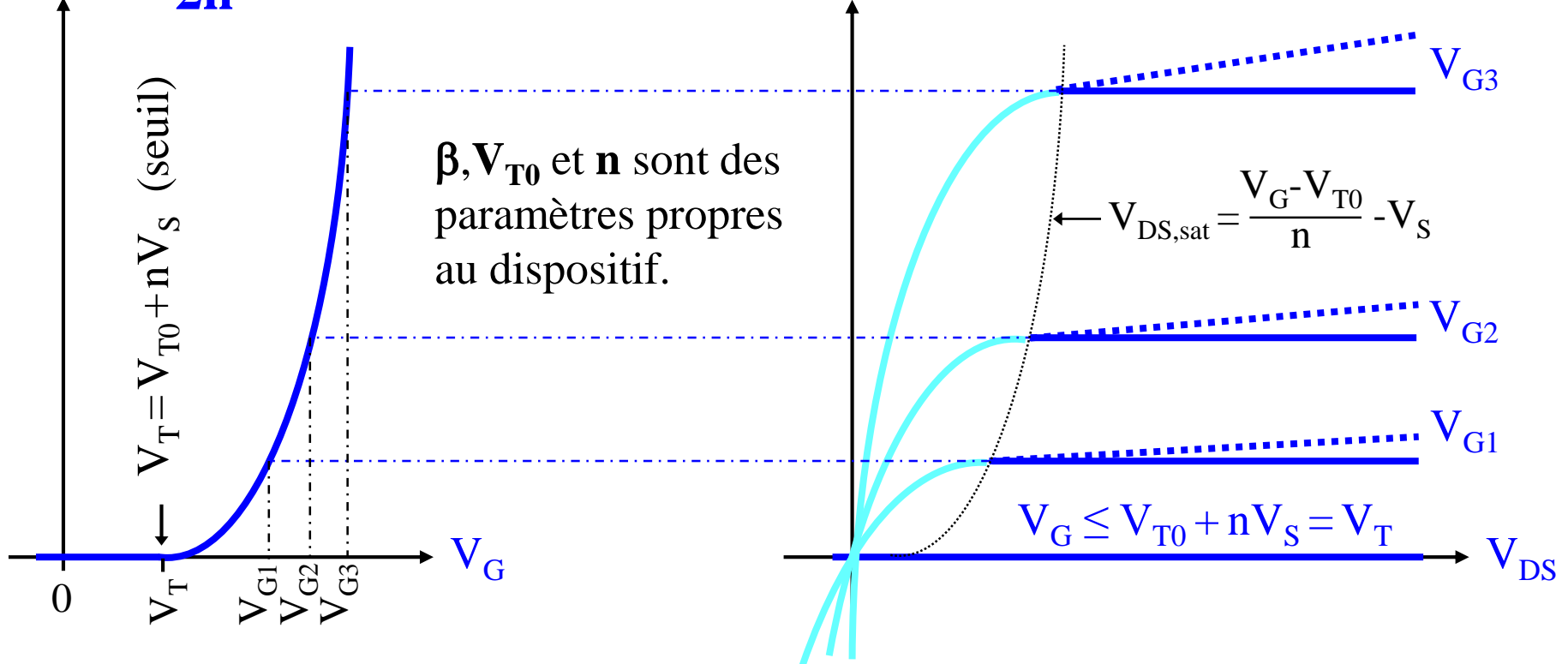


# 1. Transistor MOS: lois de base

**Transistor MOS  
en forte inversion  
et saturation**

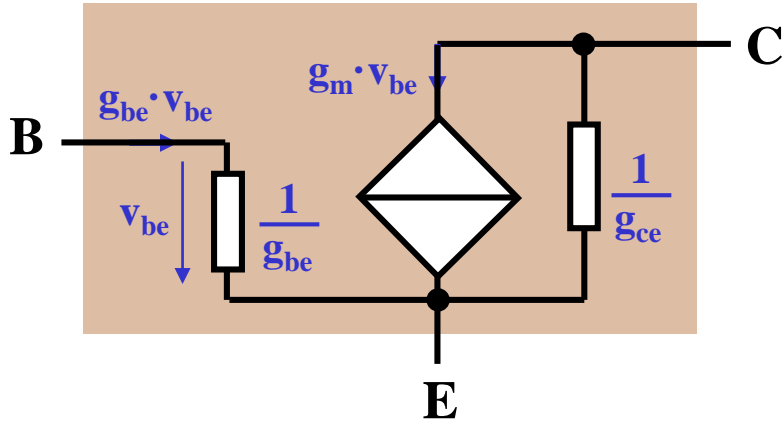


$$I_{D,sat} = \frac{\beta}{2n} \cdot (V_G - V_{T0} - nV_S)^2$$



## 2. Modèle "petits signaux"

### Transistor bipolaire (en mode normal)



$$g_m = \frac{I_{C0}}{U_T}$$

$$38 \text{ mA/V} \approx \frac{1}{26 \Omega}$$

$$g_{be} = \frac{g_m}{\beta} = \frac{I_{C0}}{\beta \cdot U_T}$$

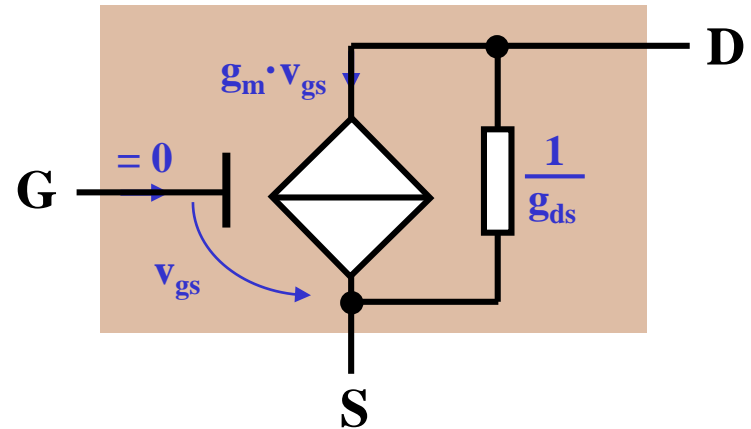
$$190 \mu\text{A/V} \approx \frac{1}{5 \text{ k}\Omega}$$

$$g_{ce} \approx \frac{I_{C0}}{V_A}$$

$$17 \mu\text{A/V} \approx \frac{1}{60 \text{ k}\Omega}$$

$$\text{Ex.: } I_{C0} = 1 \text{ mA}, \beta = 200, V_A = 60 \text{ V}$$

### Transistor MOS (en saturation)



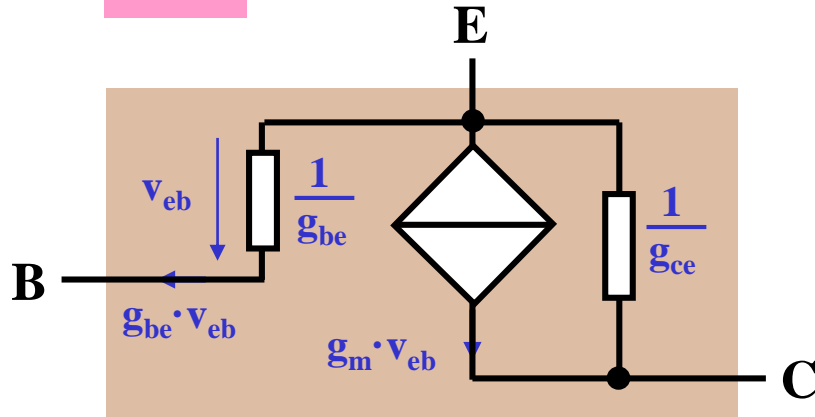
Circuit équivalent comparable, mais plus simple, en raison de la résistance d'entrée infinie du Gate

$$g_m = \sqrt{2 \cdot \mu \cdot C_{ox} \cdot \frac{W}{L} \cdot I_{D0}}$$

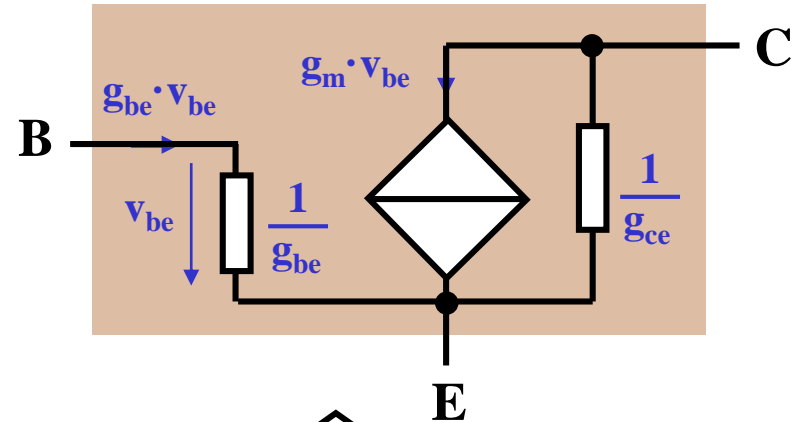
$$g_{ds} \approx \frac{I_{D0}}{V_A} = \frac{I_{D0}}{\lambda \cdot L}$$

## 2 bis. Modèle "petits signaux" PNP et NPN identiques

PNP

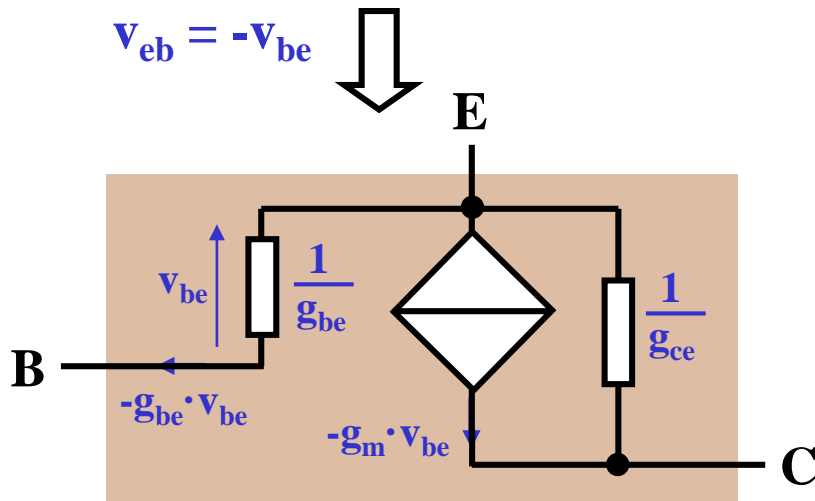


NPN

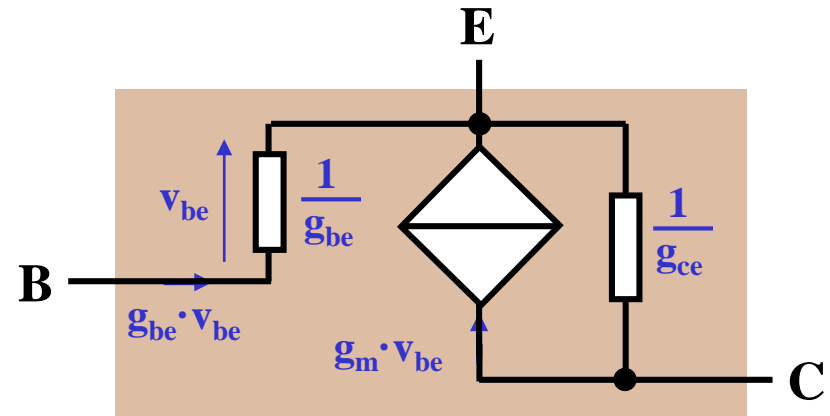


$\equiv$

$$v_{eb} = -v_{be}$$



miroir



$$-i = i$$

De même, les modèle "petits signaux" du PMOS et du NMOS sont identiques

### 3. Transistors MOS et Bipolaires: comparaison

#### Transistor bipolaire en mode normal

$$I_C = I_S \cdot e^{\frac{V_{BE}}{U_T}}$$

$$I_C = \beta \cdot I_B$$

$$U_T = \frac{kT}{q} \approx 26 \text{ mV @ } 300^\circ \text{ K}$$

$$g_m = \frac{dI_C}{dV_{BE}} = \frac{I_C}{U_T}$$

Loi exponentielle

$I_C$  peut facilement être élevé

$g_m$  élevé,  
indépendant de la géométrie

#### Transistor MOS saturé en forte inversion avec $V_S = 0$ ou $n \approx 1$

*totallement différents*

$$I_D = \frac{\beta}{2} \cdot (V_{GS} - V_T)^2$$

$$\beta = \mu \cdot C_{ox} \cdot W/L$$

$$g_m = \frac{dI_D}{dV_{GS}} = \beta \cdot (V_{GS} - V_T) = \sqrt{2\beta \cdot I_D}$$

Loi quadratique

$I_D$  plus faible, sauf au prix  
d'une surface très élevée

$g_m$  : même remarque que pour  $I_D$   
fonction de la géométrie:  $W/L$

Dépendance plus forte des  
paramètres technologiques

# 3. Transistors MOS et Bipolaires intégrés: comparaison

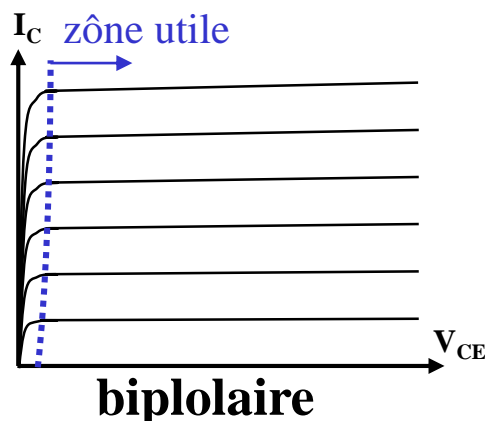
## Transistor bipolaire

$g_m$  plus élevé

Courant de sortie plus important par unité de surface

Moins sensible aux variations du processus de fabrication

Plage utile plus étendue



## Transistor MOS

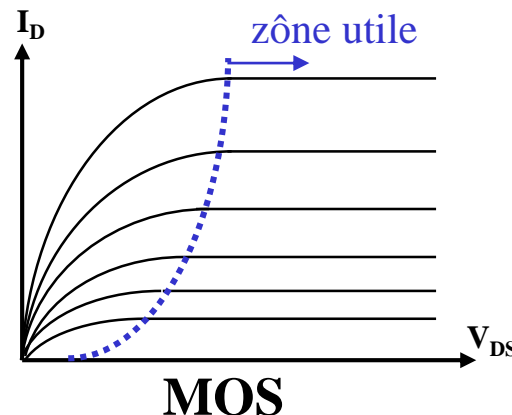
Surface minimale plus petite  
→ circuits à très haute densité

Circuits à très faible puissance

Switch "idéal" bi-directionnel

Le Gate (capacité) est une mémoire dynamique intrinsèque

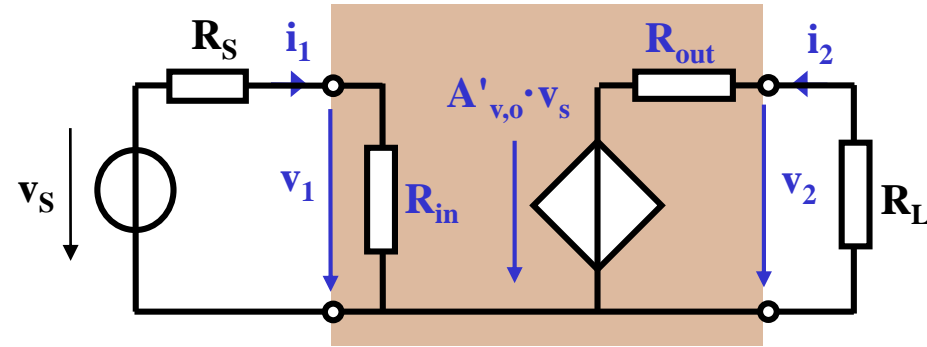
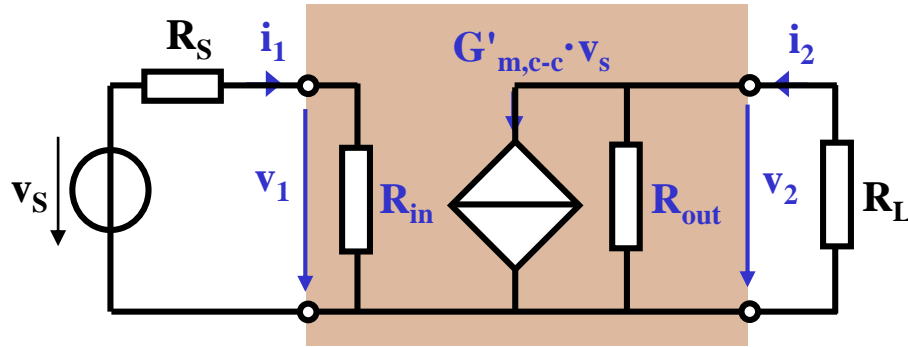
Plusieurs modes de fonctionnement possibles :  
faible ( $V_G < V_T$ ), moyenne ( $V_G \approx V_T$ )  
ou forte ( $V_G > V_T$ ) inversion





# 4. Caractéristiques des montages fondamentaux

## Modélisation et définitions



Grandeurs "accessibles":  $v_1, i_1, v_2, i_2$

Résistance d'entrée :  $R_{in} = \frac{v_1}{i_1}$

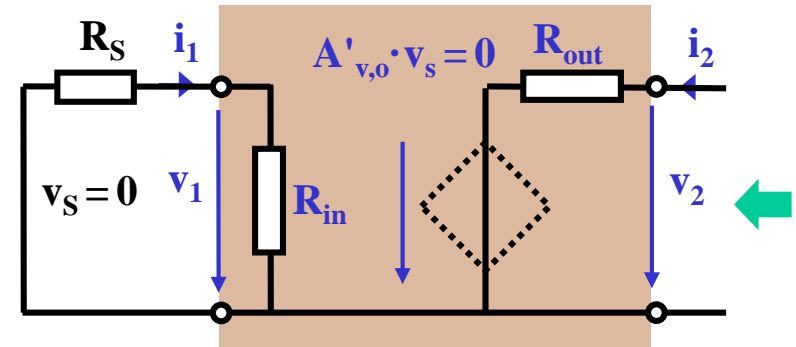
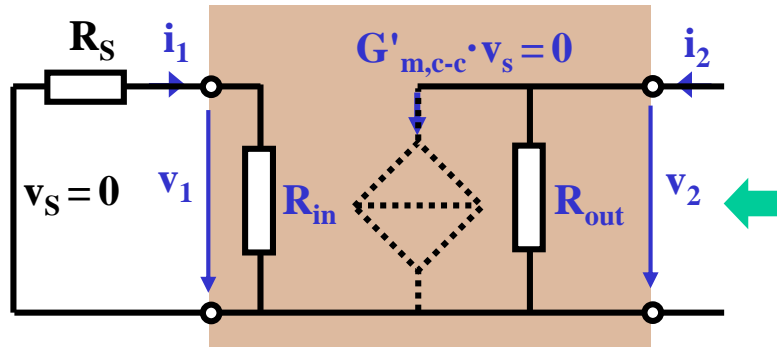
Gain en tension :  $A_v = \frac{v_2}{v_1}$

Gain en courant :  $A_i = \frac{i_2}{i_1}$

} pour une charge  $R_L$  donnée !

## 4. Caractéristiques des montages fondamentaux

### Définition de la résistance de sortie



La résistance de sortie est l'élément parasite interne au quadripôle, qui rend la source commandée non-idéale, et qui se situe en parallèle (source de courant) ou en série (source de tension) avec la charge  $R_L$ .

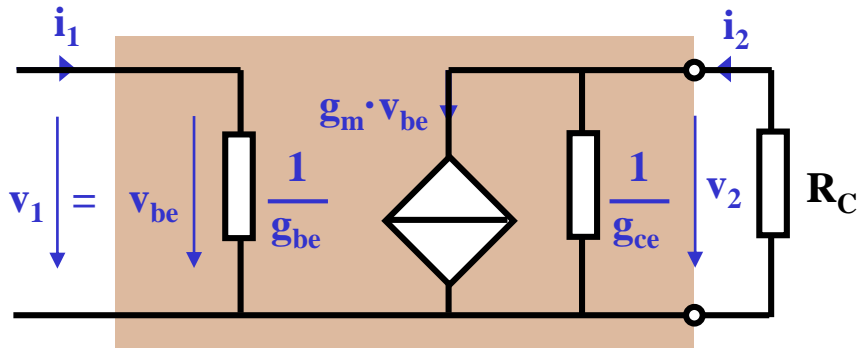
Pour mesurer ou calculer la résistance de sortie, il faut:

- enlever la charge  $R_L$
- annuler la source indépendante d'entrée  $v_s$  (ou  $i_s$  selon les cas)
- mesurer ou calculer la résistance visible, dans ces conditions, entre les bornes de sortie

$$R_{out} = \left. \frac{v_2}{i_2} \right|_{v_S=0} \quad \text{pour une résistance de source } R_S \text{ donnée !}$$

# 4. Caractéristiques des montages fondamentaux

## Emetteur Commun (1/2)



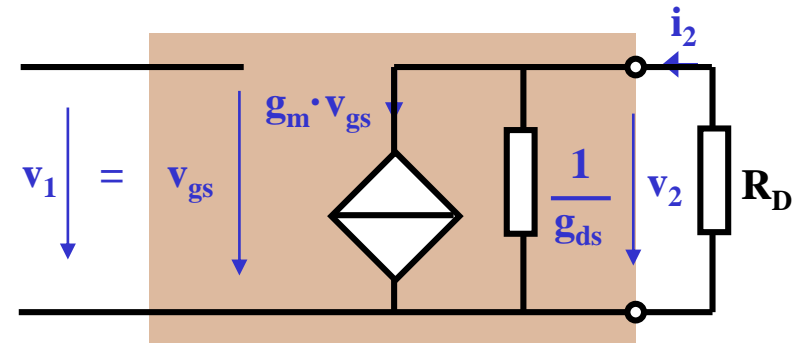
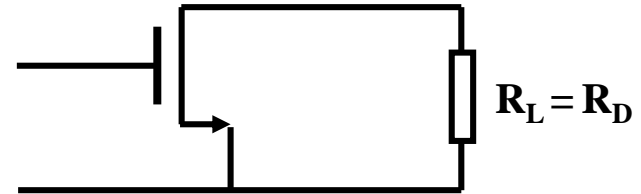
$$R_{in} = \frac{1}{g_{be}}$$

$$A_V = -g_m \cdot (R_C // \frac{1}{g_{ce}}) \approx -g_m \cdot R_C$$

$$A_i = \beta \cdot \frac{1}{1 + g_{ce} \cdot R_C} \approx \beta$$

★ si:  $R_C < \frac{1}{g_{ce}}$

## Source Commune (1/2)



$$R_{in} = \infty$$

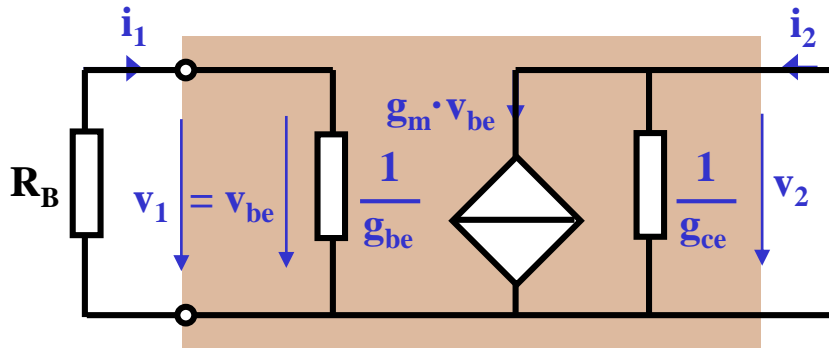
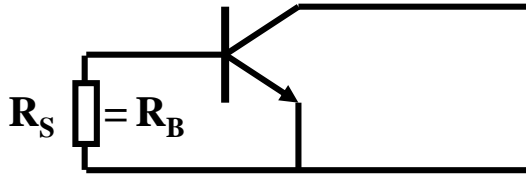
$$A_V = -g_m \cdot (R_D // \frac{1}{g_{ds}}) \approx -g_m \cdot R_D$$

$$A_i = \infty$$

★ si:  $R_D < \frac{1}{g_{ds}}$

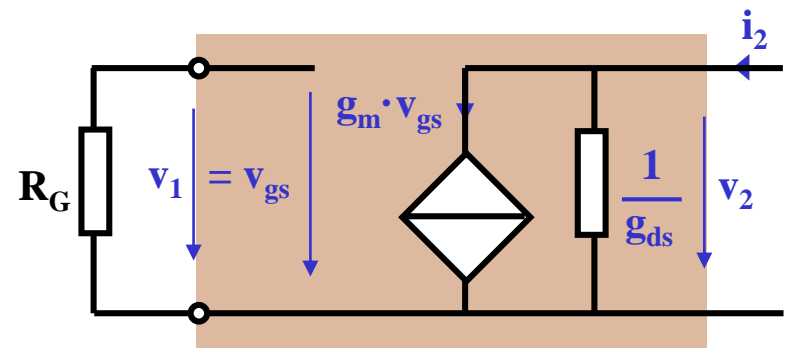
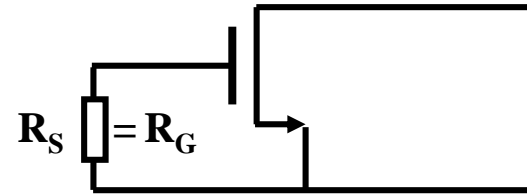
## 4. Caractéristiques des montages fondamentaux

### Emetteur Commun (2/2)



$$R_{out} = \frac{1}{g_{ce}}$$

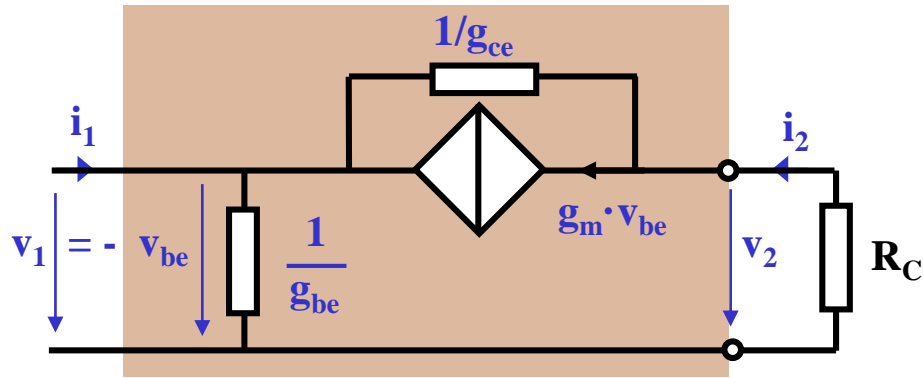
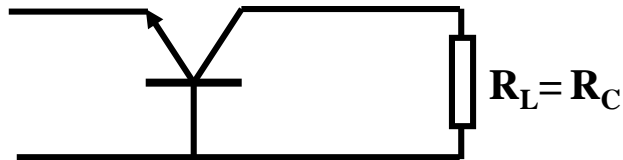
### Source Commune (2/2)



$$R_{out} = \frac{1}{g_{ds}}$$

# 4. Caractéristiques des montages fondamentaux

## Base Commune (1/2)

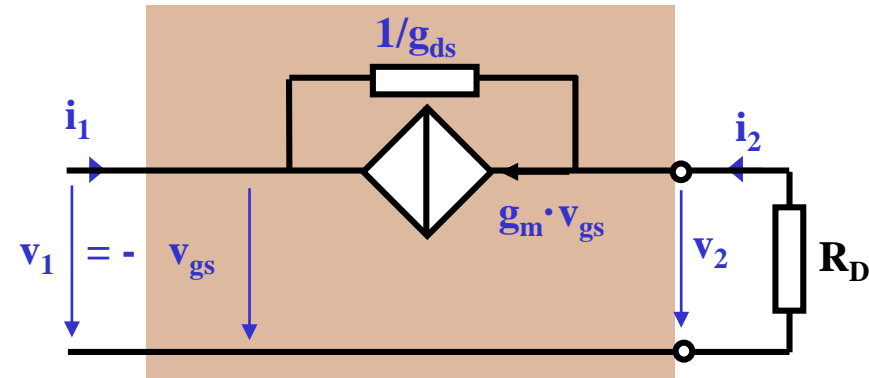
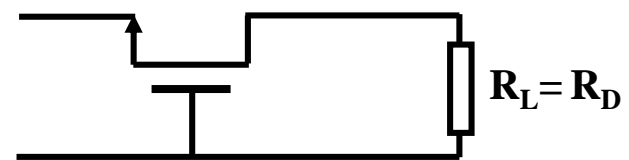


$$A_V = \frac{g_m \cdot R_C}{1 + g_{ce} \cdot R_C} = g_m \cdot (R_C // \frac{1}{g_{ce}}) \star \approx g_m \cdot R_C$$

$$A_i = \frac{-1}{1 + g_{ce} \cdot R_C / \beta} \approx -1 \quad \star \text{ si: } R_C < \frac{1}{g_{ce}}$$

$$R_{in} = \frac{1}{g_m} \cdot \frac{1 + g_{ce} \cdot R_C}{1 + g_{ce} \cdot R_C / \beta} \star \approx \frac{1}{g_m}$$

## Gate Commun (1/2)



$$A_V = \frac{(g_m + g_{ds}) \cdot R_D}{1 + g_{ds} \cdot R_D} = (g_m + g_{ds}) \cdot (R_D // \frac{1}{g_{ds}}) \star \approx (g_m + g_{ds}) \cdot R_D$$

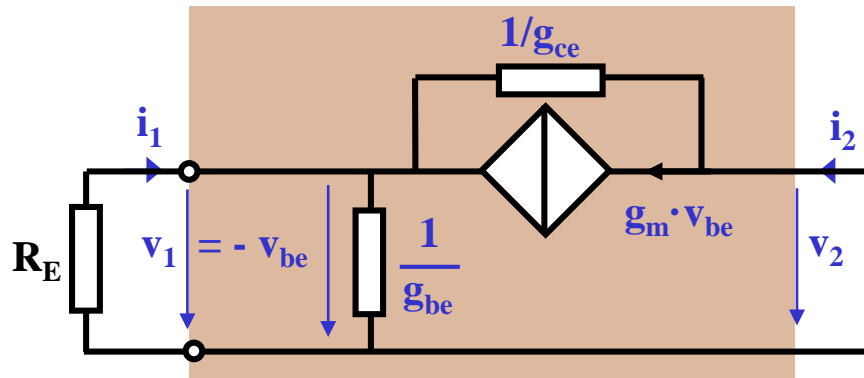
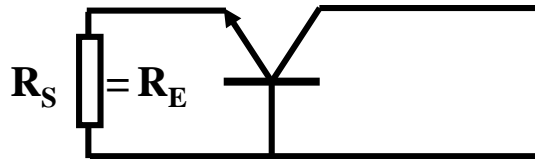
$$A_i = -1$$

$$\star \text{ si: } R_D < \frac{1}{g_{ds}}$$

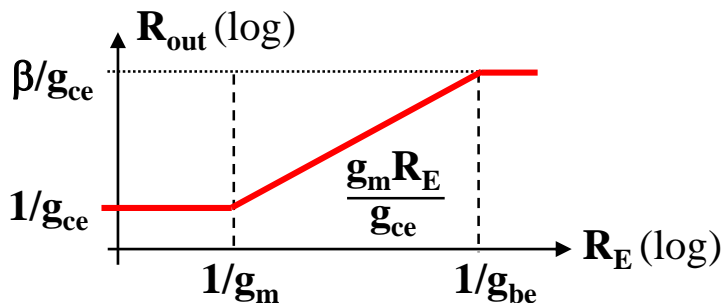
$$R_{in} = \frac{1 + g_{ds} \cdot R_D}{g_m + g_{ds}} \star \approx \frac{1}{g_m + g_{ds}}$$

# 4. Caractéristiques des montages fondamentaux

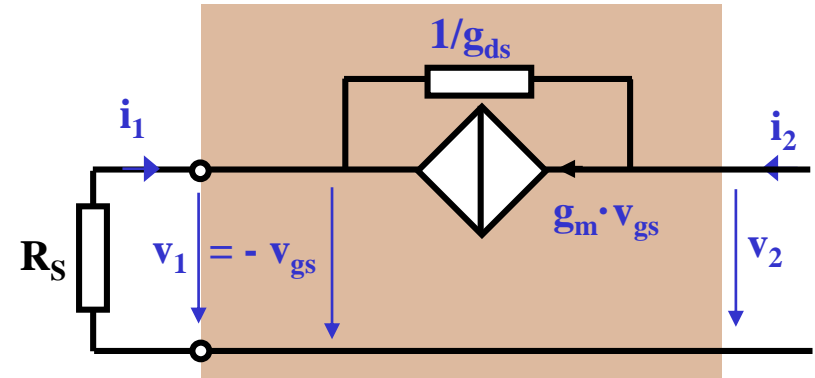
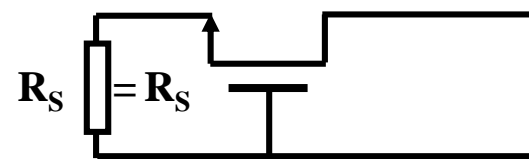
## Base Commune (2/2)



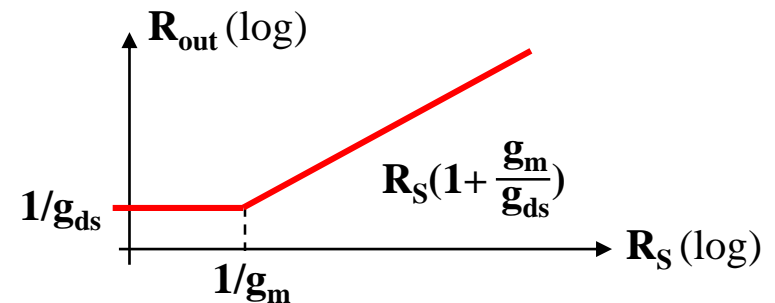
$$R_{out} = \frac{1}{g_{ce}} \cdot \frac{1 + g_m \cdot R_E}{1 + g_{be} \cdot R_E}$$



## Gate Commun (2/2)

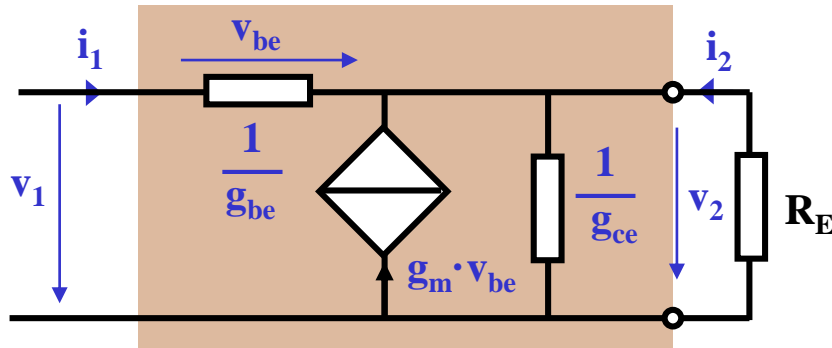


$$R_{out} = \frac{1}{g_{ds}} \cdot (1 + (g_m + g_{ds}) \cdot R_S)$$



# 4. Caractéristiques des montages fondamentaux

## Collecteur Commun (1/2)



$$A_V = \frac{g_m \cdot R_E}{1 + g_m \cdot R_E} \approx 1$$

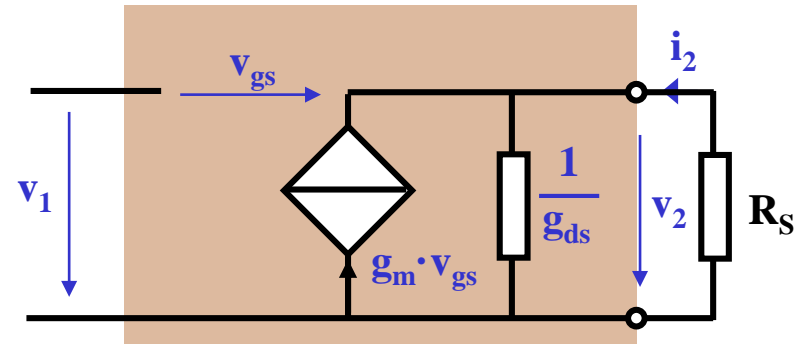
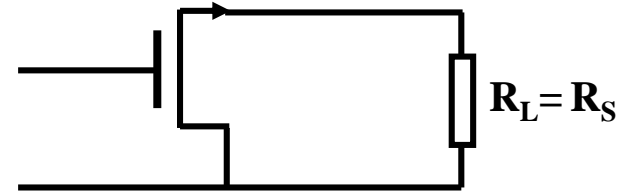
◇ si:  $R_E > \frac{1}{g_m}$

$$A_i = -\beta \cdot \frac{1}{1 + g_{ce} \cdot R_E} \approx -\beta$$

★ si:  $R_E < \frac{1}{g_{ce}}$

$$R_{in} = \frac{1}{g_{be}} + \beta \cdot (R_E // \frac{1}{g_{ce}}) \approx \frac{1}{g_{be}} + \beta \cdot R_E \approx \beta \cdot R_E$$

## Drain Commun (1/2)



$$A_V = \frac{g_m \cdot R_S}{1 + (g_m + g_{ds}) \cdot R_S} \approx \frac{g_m}{g_m + g_{ds}}$$

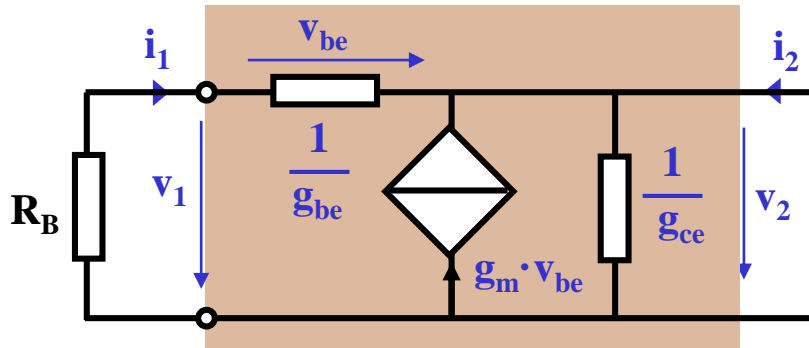
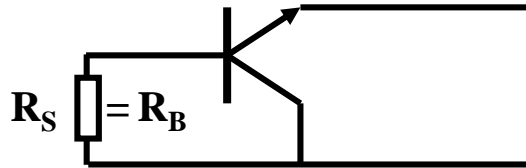
◇ si:  $R_S > \frac{1}{g_m}$

$$A_i = \infty$$

$$R_{in} = \infty$$

# 4. Caractéristiques des montages fondamentaux

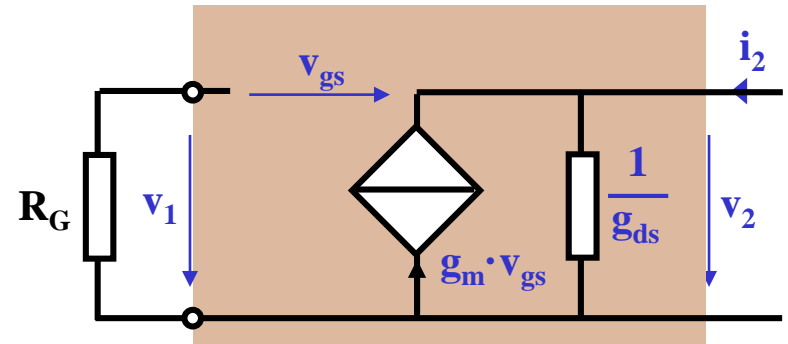
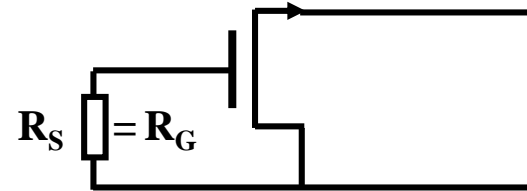
## Collecteur Commun (2/2)



$$R_{out} = \frac{1}{g_{ce}} // \left( \frac{1}{g_m} + \frac{R_B}{\beta} \right) \begin{matrix} \star \\ \diamond \end{matrix} \approx \frac{1}{g_m} + \frac{R_B}{\beta} \begin{matrix} \star \\ \diamond \end{matrix} \approx \frac{R_B}{\beta}$$

$$\star \text{ si: } R_B < \frac{\beta}{g_{ce}} \quad \diamond \text{ si: } R_B > \frac{1}{g_{be}}$$

## Drain Commun (2/2)



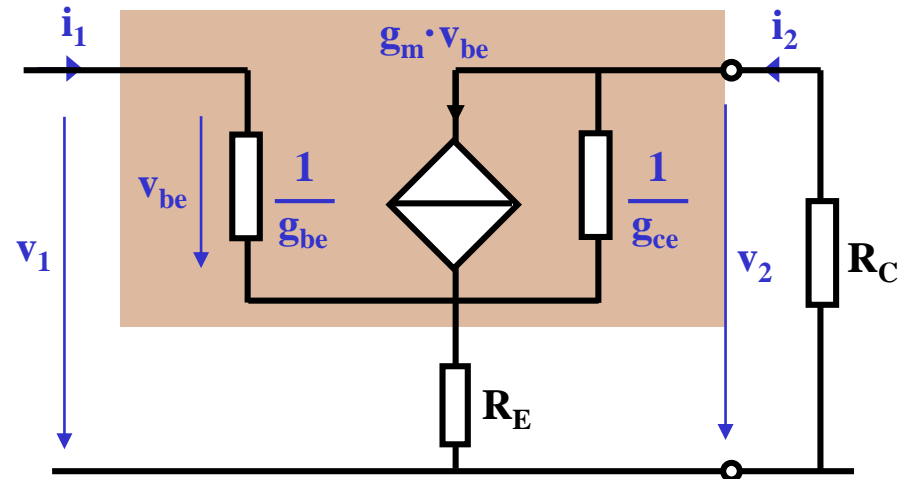
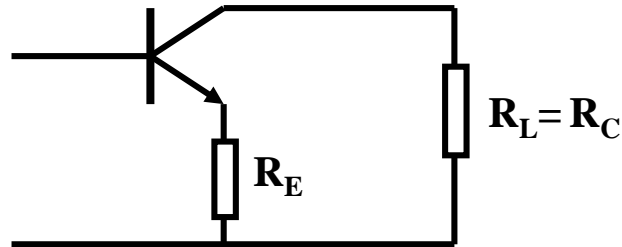
$$R_{out} = \frac{1}{g_m + g_{ds}}$$



# 4. Caractéristiques des montages fondamentaux

## Emetteur Commun "dégénéré" (1/3)

Mélange d'Emetteur Commun  
et de Collecteur Commun



$$A_V = - \frac{g_m \cdot R_C \cdot (1 - g_{ce} \cdot R_E / \beta)}{1 + g_m \cdot R_E + g_{ce} \cdot R_C \cdot (1 + g_{be} \cdot R_E)} = - \frac{g_m}{1 + g_m \cdot R_E} \cdot \left( R_C // \frac{1}{g_{ce}} \cdot \frac{1 + g_m R_E}{1 + g_{be} R_E} \right)$$

*presque toujours:  $R_E < \frac{\beta}{g_{ce}}$*

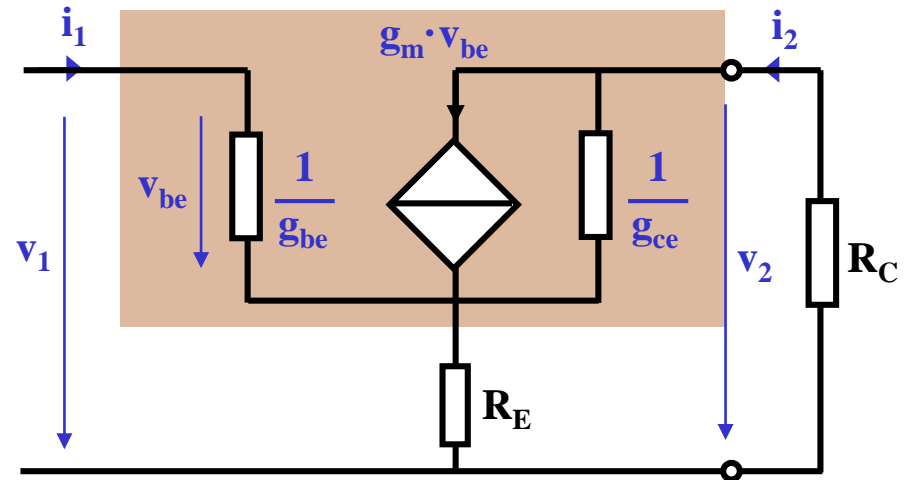
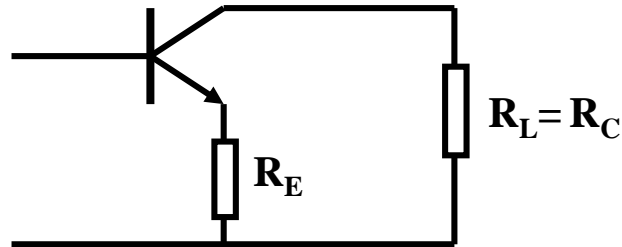
$$\star \approx - \frac{g_m \cdot R_C}{1 + g_m \cdot R_E} \quad \diamond \approx - \frac{R_C}{R_E}$$

$\star$  si:  $R_C < \frac{1}{g_{ce}} \cdot \frac{1 + g_m R_E}{1 + g_{be} R_E}$   $\diamond$  et si:  $R_E > \frac{1}{g_m}$

# 4. Caractéristiques des montages fondamentaux

## Emetteur Commun "dégénéré" (2/3)

Mélange d'Emetteur Commun  
et de Collecteur Commun



$$A_i = \frac{\beta}{1 + g_{ce} \cdot (R_C + R_E)} \quad \odot \approx \beta$$

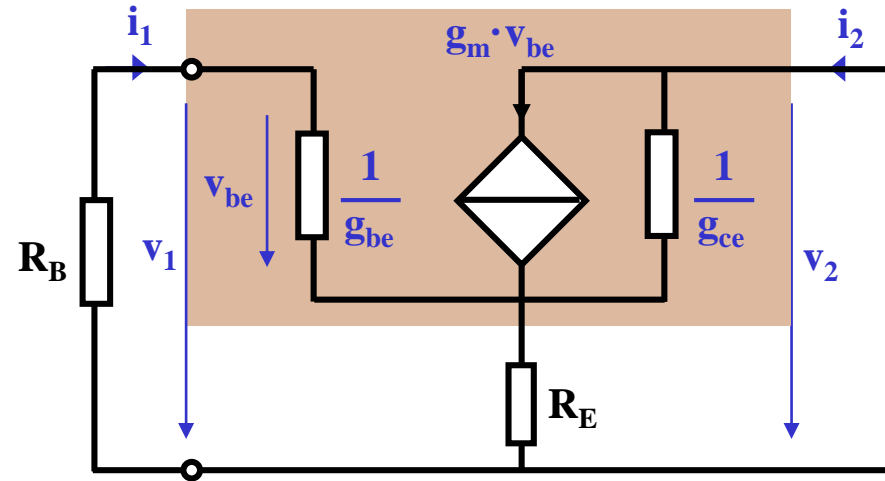
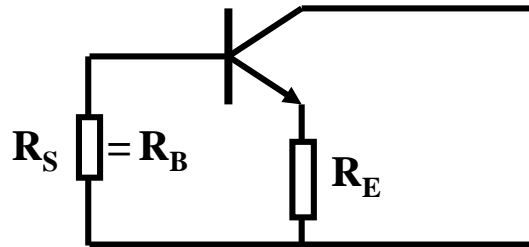
$$\odot \text{ si: } (R_C + R_E) < \frac{1}{g_{ce}}$$

$$R_{in} = \frac{1 + g_m \cdot R_E + g_{ce} \cdot R_C (1 + g_{be} \cdot R_E)}{g_{be} \cdot (1 + g_{ce} \cdot (R_C + R_E))} \quad \odot \approx \frac{1}{g_{be}} + \beta \cdot R_E$$

# 4. Caractéristiques des montages fondamentaux

## Emetteur Commun "dégénéré" (3/2)

Mélange d'Emetteur Commun  
et de Collecteur Commun



$$R_{out} = \frac{1}{g_{ce}} \cdot \frac{1 + g_m \cdot R_E + g_{be} \cdot R_B \cdot (1 + g_{ce} \cdot R_E)}{1 + g_{be} \cdot (R_B + R_E)}$$

◇ si:  $R_E < \frac{1}{g_{ce}}$

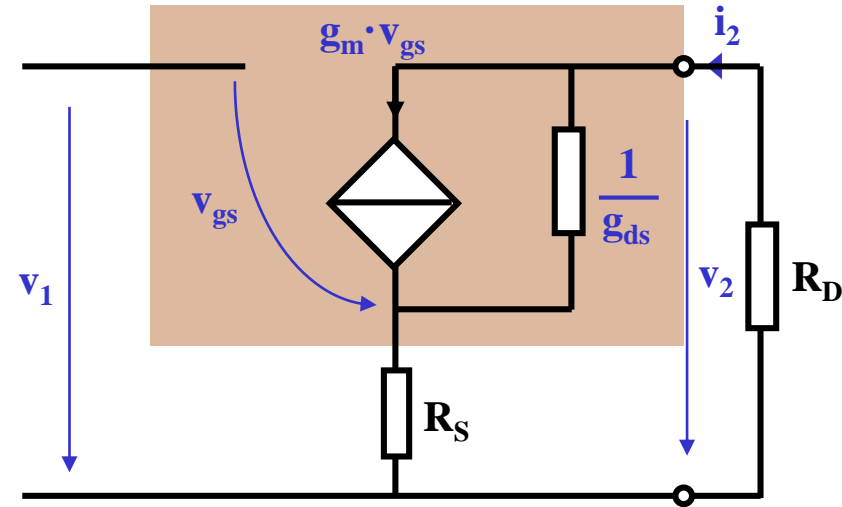
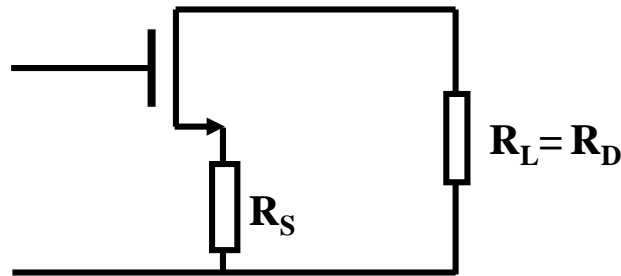
$$R_{out} \approx \frac{1}{g_{ce}} \cdot \frac{1 + g_m \cdot R_E + g_{be} \cdot R_B}{1 + g_{be} \cdot (R_B + R_E)}$$

$$\frac{1}{g_{ce}} \leq R_{out} \leq \frac{\beta}{g_{ce}}$$

# 4. Caractéristiques des montages fondamentaux

## Source Commune "dégénérée" (1/2)

Mélange de Source Commune  
et de Drain Commun



$$A_V = - \frac{g_m \cdot R_D}{1 + g_m \cdot R_S + g_{ds} \cdot (R_S + R_D)} = - \frac{g_m}{1 + (g_m + g_{ds}) \cdot R_S} \cdot \left[ R_D // \frac{1}{g_{ds}} \cdot (1 + (g_m + g_{ds}) \cdot R_S) \right]$$

$$\star \approx - \frac{g_m \cdot R_D}{1 + (g_m + g_{ds}) \cdot R_S}$$

$$A_i = \infty$$

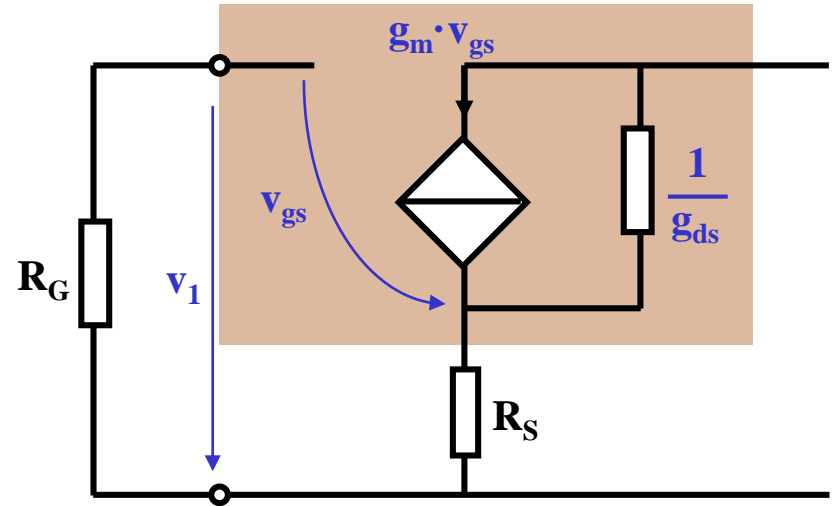
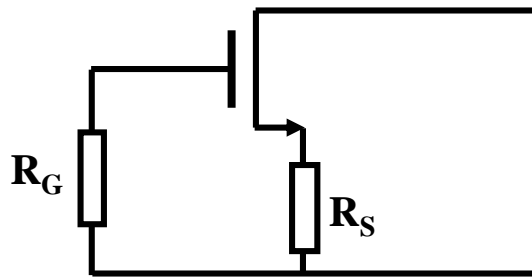
$$R_{in} = \infty$$

$$\star \text{ si: } R_D < \frac{1}{g_{ds}} \cdot (1 + (g_m + g_{ds}) \cdot R_S)$$

## 4. Caractéristiques des montages fondamentaux

### Source Commune "dégénérée" (2/2)

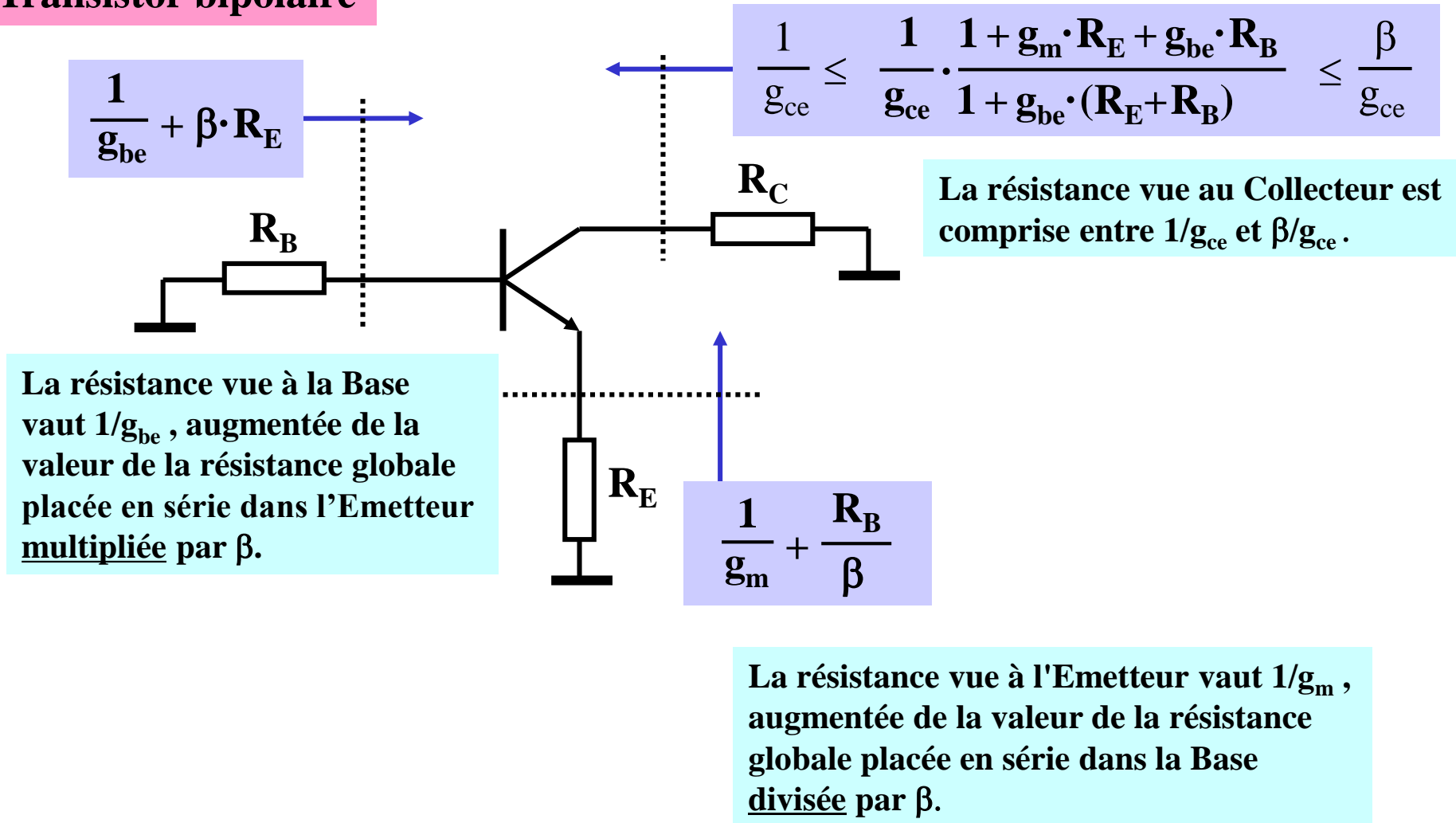
Mélange de Source Commune  
et de Drain Commun



$$R_{out} = \frac{1}{g_{ds}} \cdot (1 + (g_m + g_{ds}) \cdot R_S)$$

## 5. Calcul direct des impédances d'entrée et de sortie

### Transistor bipolaire



**Attention aux limites de validité !**

## 5. Calcul direct des impédances d'entrée et de sortie

### Transistor MOS

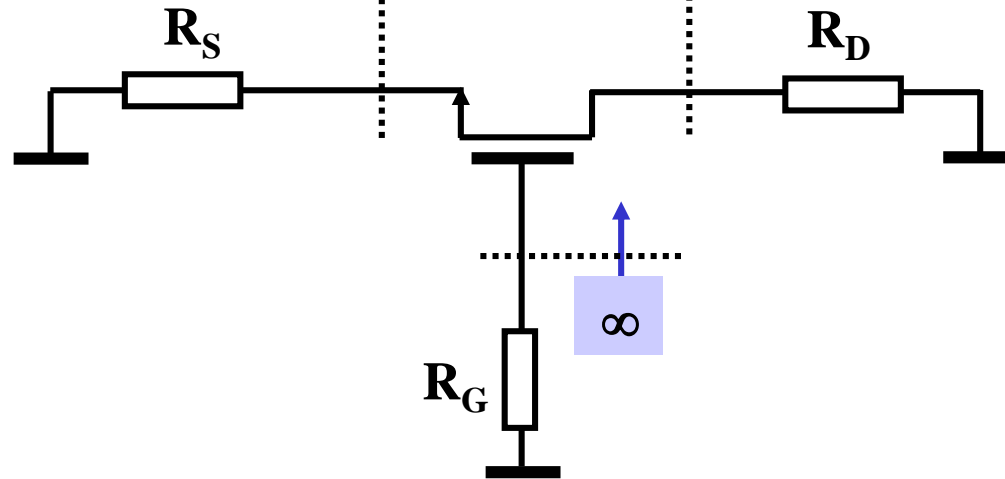
si :  $g_m \gg g_{ds}$

$$\frac{1}{g_m + g_{ds}} \cdot (1 + g_{ds} \cdot R_D)$$

$$\frac{1}{g_m} \cdot (1 + g_{ds} \cdot R_D)$$

$$\frac{1}{g_{ds}} \cdot (1 + (g_m + g_{ds}) \cdot R_S)$$

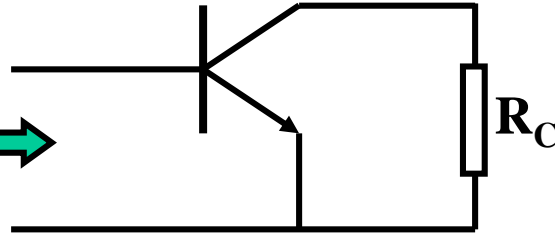
$$\frac{1}{g_{ds}} \cdot (1 + g_m \cdot R_S)$$



# 5. Calcul direct des impédances d'entrée et de sortie

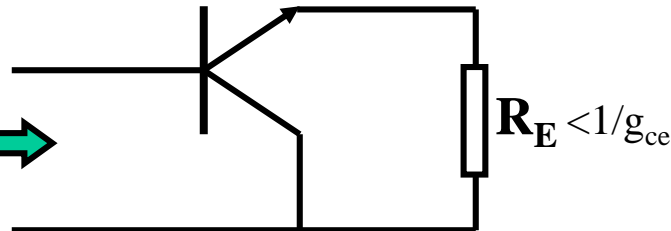
## Exemples d'applications : entrée sur la base

$$R_{in} = \frac{1}{g_{be}}$$



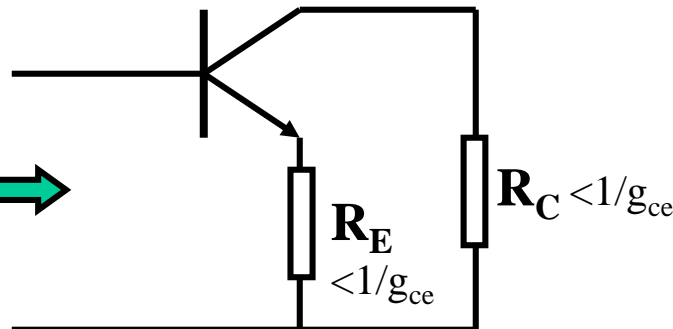
EC

$$R_{in} = \frac{1}{g_{be}} + \beta \cdot R_E$$



CC

$$R_{in} = \frac{1}{g_{be}} + \beta \cdot R_E$$



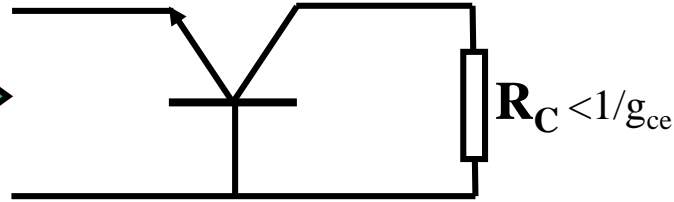
EC  
dégénéré



## 5. Calcul direct des impédances d'entrée et de sortie

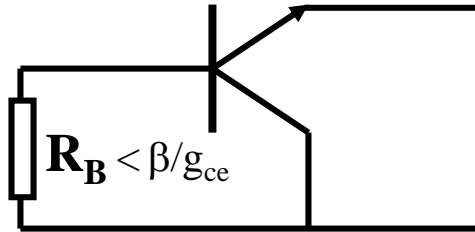
Exemples d'applications : entrée ou sortie sur l'émetteur

$$R_{in} = \frac{1}{g_m}$$



BC

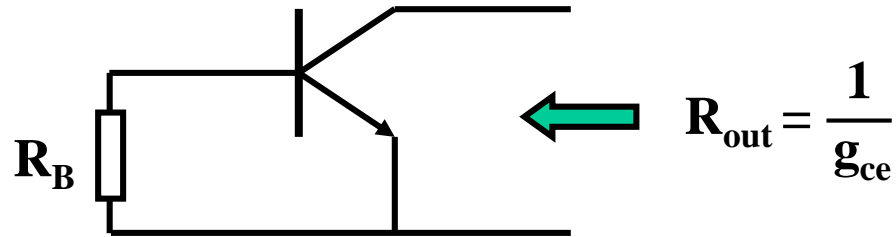
CC



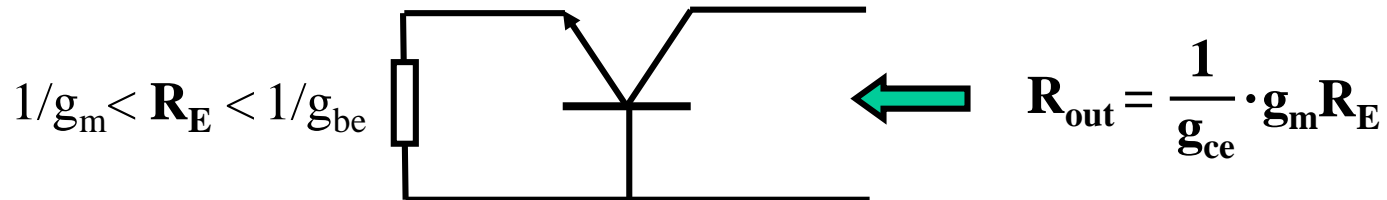
$$R_{out} = \frac{1}{g_m} + \frac{R_B}{\beta}$$

## 5. Calcul direct des impédances d'entrée et de sortie

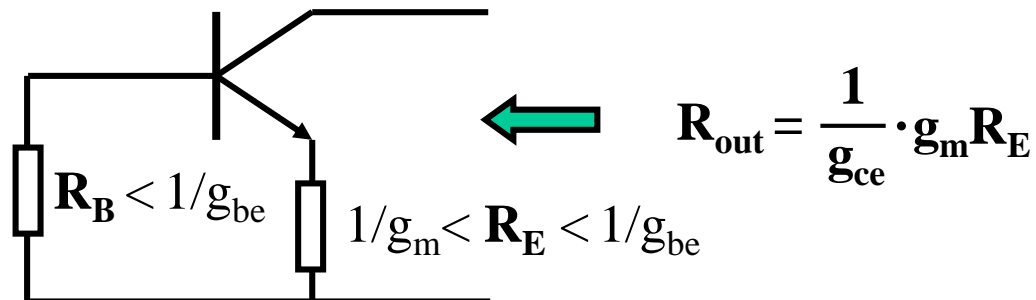
### Exemples d'applications : sortie sur le collecteur



EC



BC



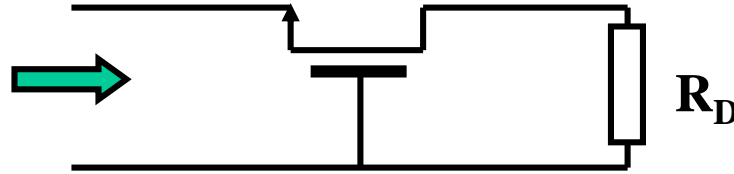
EC  
dégénéré

# 5. Calcul direct des impédances d'entrée et de sortie

## Exemples d'applications

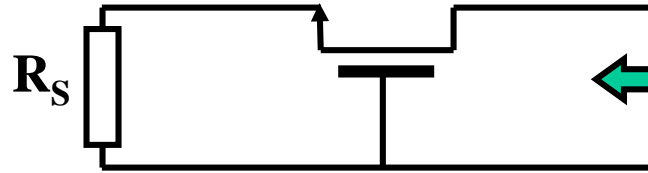
si :  $g_m \gg g_{ds}$

$$R_{in} = \frac{1}{g_m} + R_D \cdot \frac{g_{ds}}{g_m}$$

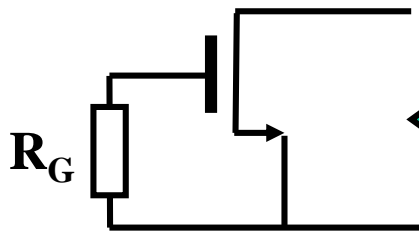


GC

GC

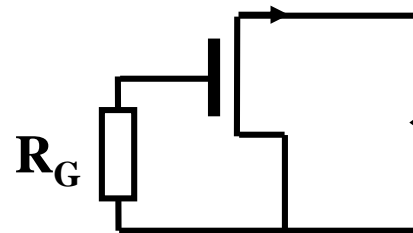


$$R_{out} = \frac{1}{g_{ds}} + R_S \cdot \frac{g_m}{g_{ds}}$$



SC

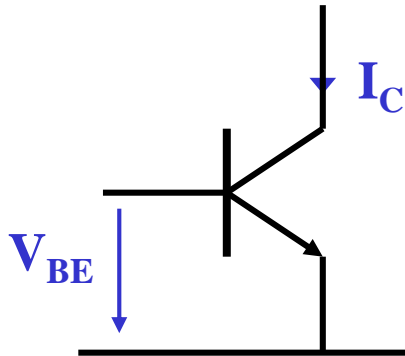
$$R_{out} = \frac{1}{g_{ds}}$$



DC

$$R_{out} = \frac{1}{g_m}$$

## 6. Autres remarques



$$I_C = I_S \cdot e^{\frac{V_{BE}}{U_T}}$$

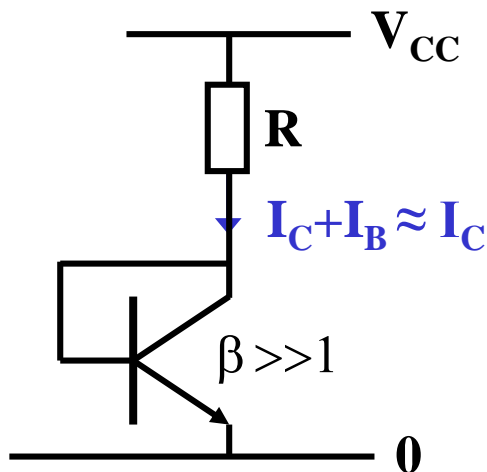


$$V_{BE} = U_T \cdot \ln \frac{I_C}{I_S}$$

Ex.:  $I_S = 10^{-14} \text{ A}$   
 $U_T = 26 \text{ mV}$

**L'approximation  $V_{BE} = U_j = 0.7 \text{ V}$  ne peut jamais être utilisée dans la loi exponentielle pour calculer le courant !**

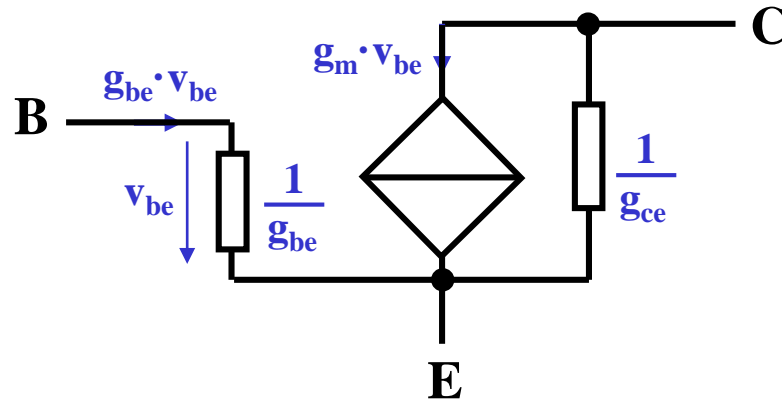
| $I_C \text{ (mA)}$ | $V_{BE} \text{ (V)}$ |
|--------------------|----------------------|
| 1                  | 0.658                |
| 2                  | 0.676                |
| 5                  | 0.700                |
| 10                 | 0.718                |



$$I_C = \frac{V_{CC} - 0.7}{R}$$

**Par contre, l'approximation  $V_{BE} = U_j = 0.7 \text{ V}$  est valable dans la plupart des cas pour calculer une polarisation.**

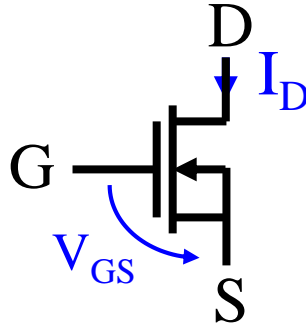
## 6. Autres remarques



En "petits signaux":  $v_{be} \neq U_j = 0.7 \text{ V}$

$U_j$  n'a aucun sens dans un calcul "petits signaux"

## 6. Autres remarques



$$V_{GS} = V_T + \sqrt{\frac{2 \cdot I_D}{\beta}}$$

$$V_{GS} \neq U_j = 0.7 \text{ V}$$